

地震時主働土圧についての実験的研究

山口大学

正員 大原資生

1. 地震時、擁壁に作用する土圧分布に関する問題は耐震工学上の重要な問題の一つである。著者の実験室では最近、この問題に対する従来からの実験方法を改めて、地震時に壁が外側に変位するときに作用する土圧の極大値、すなわち地震時主働土圧などを測定する実験を行っている。¹⁾ こに発表するものは壁の変位型を種々に変化して、地震時主働土圧を測定し、その結果について考察したものである。

2. 実験装置および方法は次のようである。振動台上の砂箱(鋼板製)内寸法は深さ30cm、幅56cm、長さ100cmである)の中に乾燥砂をつめて水平に振動し、振動方向に直角の端壁面に作用する土圧を測定する。この端壁が図-1に示すように可動壁となりており、鉛直方向には下部のローラーで支えられ、水平方向には4本のスピンドルによって支えられている。

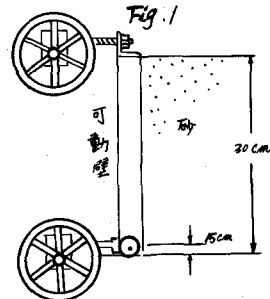
この4本のスピンドルは上、下のハンドルを回転することによって前後に動かすもので、上のハンドルのみを回転するとときは上部変位壁、下のハンドルのみを回転するとときは下部変位壁、上下を同時に同じように回転すれば平行移動壁となる。

この可動壁の中央鉛直線上に深さ5、15、25cmの位置に直径5cmの壁面上土圧計をとり付けて壁に作用する土圧を測定した。この土圧計は土圧に±3検定を行ってある。可動壁の周囲と砂箱とのすき間(1.5mm)にはビニール膜をはって砂が漏れるのを防いだ。スピンドルのギヤ機構のアソビをとるために可動壁をギヤボックスに4個の張力で押し付けるようにした。可動壁の最大変位量は1mmといふが、これの測定にはダイアルゲージと抵抗線ビズミゲージ応用の変位計と用いた。

この実験に用いた小振動周期は各秒で震度は0～0.4までである。振動台の加速度は台にとり付けられた加速度計によって測定された。これも土圧計も抵抗線ビズミゲージ応用のもので、それらの出力はすべてペンオシロに同時記録された。

実験はまず、砂箱内に出来た砂を均一に乾燥砂をつめるところから始められたが、これはホッパーの中に入れて、それを砂箱上に釣上げて下の口を開けて布ホースを通して砂箱内に落す。その後、表面を仕立てる。このようにして詰められた砂の単位重量は1.30 g/cm³である。また砂は平均粒径0.23mmの豊浦標準砂で、内摩擦角は38°である。実験では、砂詰め後の静土圧(これを初期静止土圧という)を測定し、次に壁を変位して各種の変位型についての静的主働土圧を測定した。動的実験では砂詰め後方1回目の振動で0.1、0.2、0.3、0.4の震度を与えた時の結果を重視して実験を行ったが、所要の震度の振動中に壁を各変位型にしたがって変位速度1mm/10secで外側に変位させた。壁の変位量が0.4～0.6mm位になると壁面に作用する各点の土圧極大値は壁の変位量の増加とともに減少するが、変位量が0.4～0.6mmに達するとき土圧は一定値に落ち着き、それ以上変位が増大しても土圧値の変化はない。この土圧値を地震時主働土圧とした。

3. 図2、3が動的実験でのペンオシロの記録の一例である。5本の線は上から3本が5、15、25cm



の深土の土圧で、4本目が振動台の加速度、5本目が壁の変位である。図-2は上部変位壁で、ほゞ下端を回転中心として上端が外側へ1mm変位した場合の記録である。

この場合の特徴としては壁が変位するにしたがって、土圧極大値(振動の山の値)はいづれの深さの点でも減少するといふ、深さ25cmの点の土圧振幅が増加することである。図-3は下部変位壁で壁ほゞ上端を回転中心として下端が外側へ1mm変位した場合の記録であり、壁が変位するにしたがって深さ25cmの点の土圧極大値は減少するが、深さ5, 15cmの点の土圧は逆に増加する傾向が見られるのが特徴である。

これと同じ現象は平行移動壁で見るに見える。

図-2, 3からわかるように、壁の変位がある値以上になると土圧値も定常的にとなり、一定値に落ち着く。これを地震時主働土圧として、これらの記録から求め、深さ方向の分布として示したのが図-4～8である。

実線が土圧の極大値、点線は極小値である。両者の間が土圧振幅である。また、前述のように動的実験に先立つて静的主働土圧の測定を行つたので、図-5, 7, 8にはその結果も併せて掲げた。静的と動的とを比較すると両者の間に土圧振幅がほかのところとのちがいは勿論あるけれども、静的の主働土圧のもつ特徴は地震時主働

土圧にも生きているということが出来る。これらの中で図-6は上部変位弹性支持壁に作用する地震時主働土圧分布であり、他にくらべて最も三角形分布に近いものとなつてゐる。この場合の土圧の位相は台加速度とは 180° に近い位相差があるが、地震時主働土圧といふことで他の壁と同様に整理した。これらの地震時主働土圧の分布から、その土圧合力を計算してみた。この土圧分布自体が3つの探査での測定値によって作られたものであるので、それから合力を計算するのはかなり大雑把なことではあるが、砂表面での土圧は零として一応計算を行つてみた。その結果得られたのが図-9である。

これでみると完全固定壁に作用する地震時土圧(これは壁が変位しない場合の土圧であるので、主働土圧ではない)は別にして考えてよいので、地震時主働土圧の合力は壁の変位型によつては大きいが

Fig. 2

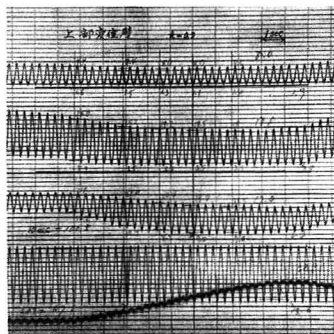


Fig. 3

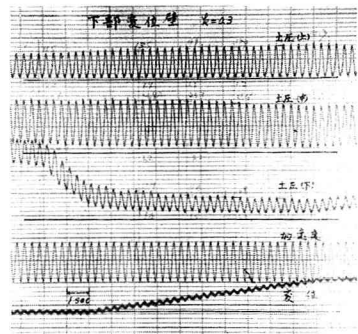


Fig. 4 完全固定壁

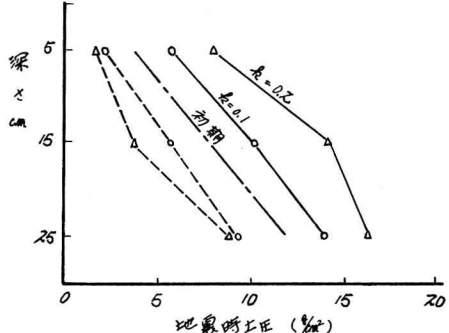


Fig. 5 上部変位壁

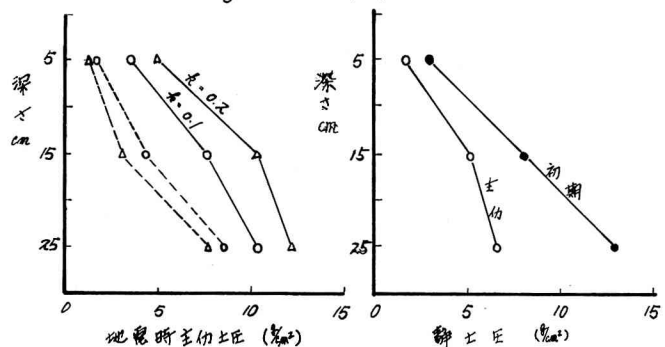


Fig. 6 上部変位 弾性支壁

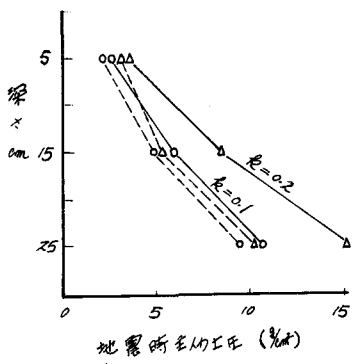


Fig. 7 平行移動壁

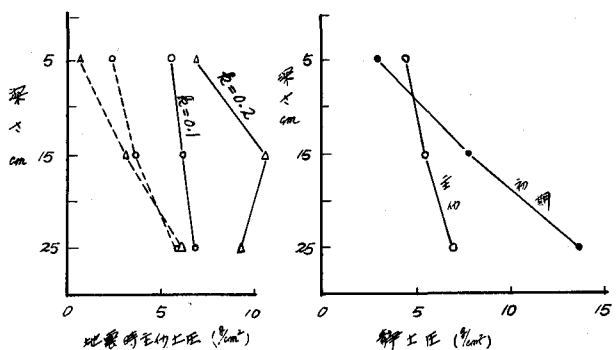
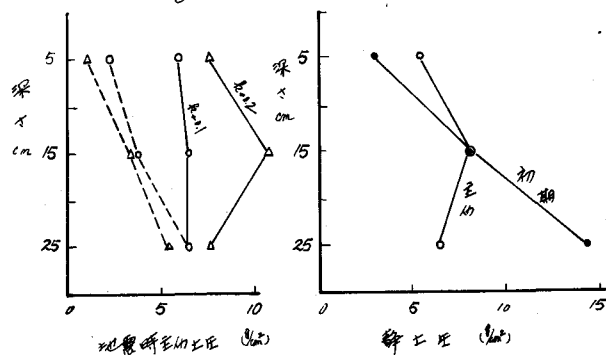


Fig. 8 下部移動壁



ないと考えてよいようである。深土分布が異なるので、その合力の着力点はそれとれ異なり、壁の下端から壁高の35%から45%の間にある。

この結果からみると、地震時主働土圧は、与えられる振動の条件が一定であれば土圧によって壁面に加えらるるエネルギーは壁の変位型にかかわりなくほぼ一定であり、その深土分布が壁の変位型によつてちがうのは土圧再配分が生じているためと考えること出来る。図9の可動壁の地震時主働土圧合力の平均値をとつて、この値を γ_{d}/g (γ :砂の単位重量、 g :壁全高)で除したもののが地震時主働土圧係数として示してあるが図10(点線)である。この図に内部マサツ角中を 25° から 40° にしたときの物部-周部公式の値を実線で入れて两者の対応をみた。この結果、地震時主働土圧合力を求めるには内部マサツ角を震度の1度より約 2.5° 減ずさせて物部-周部公式を用いるとよいといえ。

4. 図10の結果は以前にも述べたところ³⁾が、内部マサツ角中が振動中に減少するか、どうかは明確ではない。その点につけての資料をうるために次のような実験を行つた。その一つは振動による砂の安息角の変化の測定である。これについては過去に著者も、また港湾技術でも行つたことが

Fig. 9

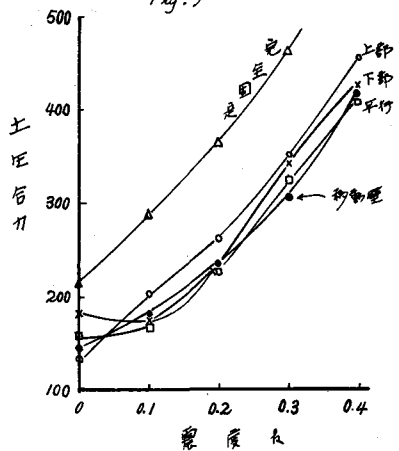
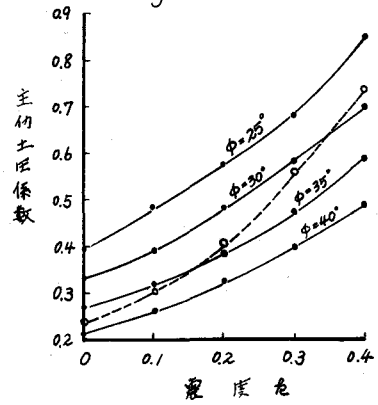


Fig. 10



いづれも砂箱の中に砂の斜面を作り、その斜面の傾斜方向の水平振動を与えた場合の実験である。こゝでは主として斜面傾斜方向と直角方向の水平振動を与えて振動による慣性力が斜面の安定条件に直接影響しないような状態での実験を行つた。その結果を図11の θ_H で示す。

θ_H は従来の方法による結果である。安息角と内部マツフ角との差しについてはことではないが、この結果よりみると θ_H の減少は震度0.1当り約2°位となっていふことがわかる。

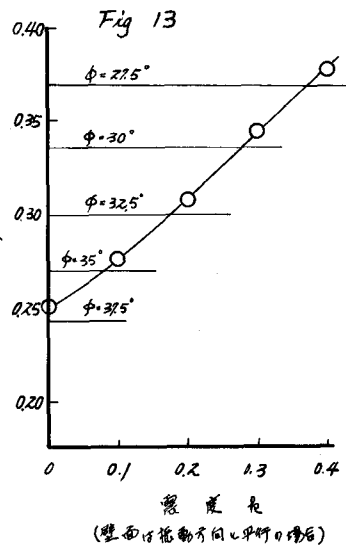
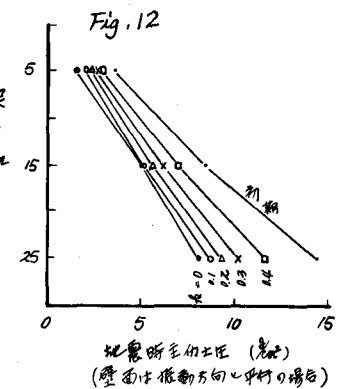
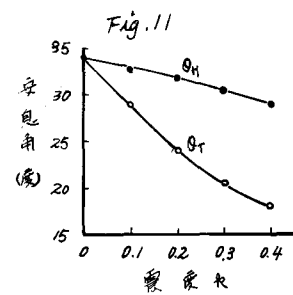
もう一つの実験は可動壁面に平行な方向の振動を与えた場合の上部変位壁に作用する地震時主働土圧の測定である。この場合は土圧振幅は殆ど生じないが、主働土圧は測定される。そして、その値は震度によって異なる。その結果は図12に示した。すなはち、震度が大きくなると主働土圧の値は大きくなる。この結果から主働土圧係数を逆算して、それと震度との関係を示したのが、図13である。

これからも内部マツフ角の減少は震度0.1当り約2.5°といつて結果が得られる。

5. 以上が地震時主働土圧についての実験結果であるが、

- 壁の変位型のちがいによって、その土圧分布はかなり異なが、その合力はほど一定である。
 - その合力の値は内部マツフ角を震度0.1当り2.5°減少するとして物部一周部公式で計算した値と一致する。
- といつたことをバー卿の結論といふ。しかし各変位型についての土圧分布を理論的に求めることは出来ないので、著者は実験値から各変位型の平均的な土圧分布のパターンを定め、壁を上中下の3部分に分けて土圧の配分率をものと定めてみた。それが次表である。

	上 部	中 央 部	下 部
上部変位壁	0.21	0.36	0.43
平行移動壁	0.30	0.37	0.33
下部変位壁	0.36	0.38	0.26
上部変位弹性支持壁	三角形分布		



附記: こゝの実験は日本大学院 前席 廉君の助力を得た。こゝに謝意を表す。

参考: 1. 日本地震工学シンポジウム(1966) 論文集 P.115

2. 九大工学集報 26巻1号(1955) P.21